

บทความวิจัย

ผลของศักย์ของสารเจือที่มีต่อความหนาแน่น สถานะของตัวนำயวดยิ่งแบบคลีนดี

เกศрин มีเมล* และ พงษ์แก้ว อุดมสมุทรหริรัญ

บทคัดย่อ

งานวิจัยชิ้นนี้มีจุดประสงค์เพื่อศึกษาผลของสารเจือที่มีต่อความหนาแน่นสถานะของตัวนำယดยิ่งแบบคลีนดีที่มีสารเจือ โดยจะใช้ฟังก์ชันกรีน และที เมทริกซ์ ในการคำนวณหาสมการความหนาแน่นสถานะของตัวนำယดยิ่งที่มีสารเจือแบบแม่นตรงและแบบประมาณ ซึ่งได้แสดงผลการคำนวณเชิงตัวเลขด้วยพบว่าศักย์ของการกระจายของสารเจือจะมีผลทำให้พื้นที่ของความหนาแน่นสถานะที่ $\varepsilon = \Delta(T)$ มีค่าลดลง

คำสำคัญ: ตัวนำယดยิ่งแบบคลีนดีที่มีสารเจือ ความหนาแน่นสถานะ

Effect of Impurities Scattering Potential on Density of States of d-wave Superconductors

Kedsarin Meemon* and Pongkaew Udomsamuthirun

ABSTRACT

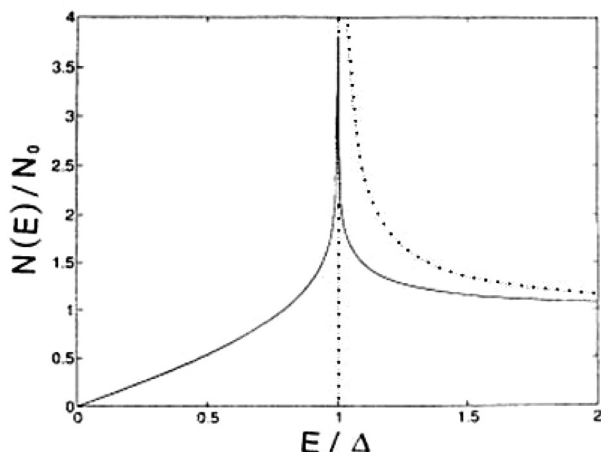
The purpose of our research is to study the density of states of impure d-wave superconductors. We use the Green's function and T-matrix to derive the exact and approximation equation of density of states at the impurity site. The numerical calculations are shown. We find that the impurities scattering potential decrease the peak of density of states at $\varepsilon = \Delta(T)$.

Keywords: impure d-wave superconductors, density of states

บทนำ

ปัจจุบันได้มีการแบ่งประเภทของสารเจือเป็น 2 ประเภท คือ สารเจือประเภทไม่เป็นแม่เหล็ก (non-magnetic impurities) และสารเจือประเภทแม่เหล็ก (magnetic impurities) [1] โดย สารเจือประเภทไม่เป็นแม่เหล็กจะมีโมเมนต์ลัพธ์ของอะตอมหักล้างกันพอดี จึงไม่มีผลเนื่องจากสpin ดังนั้นเมื่อเติมสารเจือประเภทนี้ลงไปในตัวนำward ยิ่งจึงไม่มีผลต่ออุณหภูมิวิกฤติของตัวนำward ยิ่ง เพียงแต่ทำให้มีช่องว่างพลังงานมากขึ้น และสำหรับสารเจือประเภทแม่เหล็กจะมีโมเมนต์แม่เหล็กซึ่งจะมีอันตรกิริยากับสpin ของอิเล็กตรอนในคู่คู่เปอร์ ทำให้อิเล็กตรอนตัวใดตัวหนึ่งในคู่คู่เปอร์กลับทิศของสpin ส่งผลให้คู่คู่เปอร์ถูกทำลาย และเมื่อจำนวนคู่คู่เปอร์ลดลง อุณหภูมิวิกฤติและช่องว่างพลังงานจึงลดลงด้วย

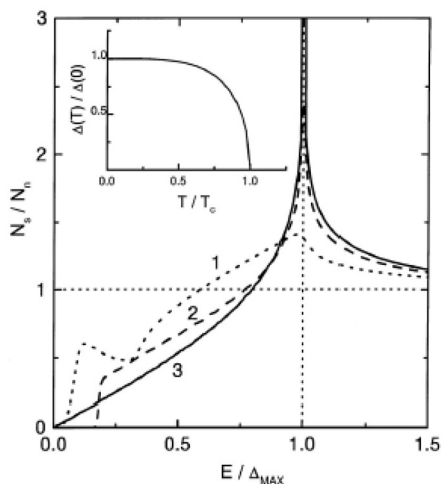
ในปี 1994 Won และ Maki [2] ศึกษาความหนาแน่นสถานะของตัวนำward ยิ่งแบบคลีนดี โดยกำหนดให้ตัวแปรของช่องว่างพลังงาน คือ $\Delta(k) = \Delta \cos 2\theta$ ซึ่งสามารถคำนวณผลเชิงตัวเลขได้ และแสดงความสัมพันธ์ของ $N(E)/N_0$ กับ E/Δ ดังรูปที่ 1



รูปที่ 1 แสดงความหนาแน่นสถานะของตัวนำward ยิ่งแบบคลีนดี (—) และความหนาแน่นสถานะของตัวนำward ยิ่งแบบคลีนอส (.....) [2]

พบว่าความหนาแน่นสถานะของตัวนำward ยิ่งแบบคลีนดี จะเกิดพีคที่ $E = \Delta$ และ $N(E)/N_0$ จะเพิ่มแบบเส้นตรง เมื่อ E/Δ มีค่าน้อยๆ

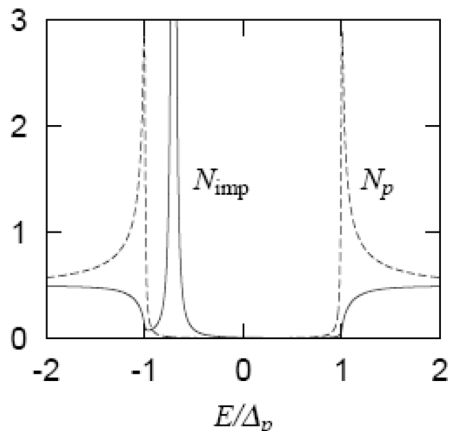
ในปี 2000 Ishida และคณะ [3] ศึกษาความหนาแน่นสถานะของตัวนำward ยิ่งที่มีสpinแบบ Triplet ในตัวนำward ยิ่ง Sr_2RuO_4 ซึ่งสามารถคำนวณผลเชิงตัวเลขได้ดังรูปที่ 2



รูปที่ 2 แสดงถึงความหนาแน่นสถานะของตัวนำயอดยิ่งที่มีสpinแบบ Triplet [3]

จากรูปที่ 2 หมายเหตุ 1 เป็นผลการคำนวณโดยใช้แบบจำลอง Orbital-Dependent Superconductivity (ODS) หมายเหตุ 2 เป็นผลการคำนวณโดยใช้แบบจำลองของมิยาเกะและนาริกิโย (MN) [4] และหมายเหตุ 3 เป็นผลการคำนวณโดยใช้แบบจำลองของช่องว่างพลังงานที่มี Line-node ส่วนภาพเล็ก แสดงถึงการลดลงของช่องว่างพลังงานในสถานะนำயอดยิ่ง, $\Delta(T)/\Delta(0)$ โดยขึ้นกับ T/T_c ซึ่งจากรูปที่ 2 จะพบว่า ความหนาแน่นสถานะของตัวนำyatod yingที่มีspinแบบ Triplet จะเกิดพีคที่ $E = \Delta_{MAX}$ และ N_s/N_n ของหมายเหตุ 1 จะเพิ่มแบบเส้นตรง เมื่อ $E = \Delta_{MAX}$ มีค่าน้อยๆ และ N_s/N_n ของหมายเหตุ 2, 3 จะมีพีคเล็กๆ เมื่อ $E = \Delta_{MAX}$ มีค่าน้อยๆ

ในปี 2001 Matsumoto [5] ศึกษาความหนาแน่นสถานะของตัวนำyatod yingแบบคลีนฟี และความหนาแน่นสถานะของตัวนำyatod yingที่มีสารเจือ ซึ่งสามารถคำนวณผลเชิงตัวเลขได้ และแสดงความล้มพ้นของ N_{imp} กับ E/Δ_p และ N_p กับ E/Δ_p ดังรูปที่ 3 เมื่อ Δ_p คือ ช่องว่างพลังงานของตัวนำyatod yingแบบคลีนฟี



รูปที่ 3 แสดงความหนาแน่นสถานะของตัวนำyatod yingแบบคลีนฟี และความหนาแน่นสถานะของตัวนำyatod yingที่มีสารเจือ [5]

พบว่าความหนาแน่นสถานะของตัวนำways ยิ่งแบบคลื่นพี จะเกิดพีคที่ $E = \Delta_p$ และความหนาแน่นสถานะของตัวนำways ยิ่งที่มีสารเจือ จะไม่เกิดพีคที่ $E = \Delta_p$ และสารเจือที่สถานะยึดเหนี่ยวจะเพิ่มขึ้น

สำหรับงานวิจัยชิ้นนี้จะทำการศึกษาและทำการคำนวนหาสมการแบบแม่นตรงและแบบประมาณของความหนาแน่นสถานะของตัวนำways ยิ่งแบบคลื่นดีที่มีสารเจือ โดยจะใช้ฟังก์ชันกรีน และที-เมทริกซ์ในการคำนวน

แบบจำลองและการคำนวน

จากทฤษฎีของ Bardeen, Cooper และ Schrieffer [6] หรือเรียกสั้นๆ ว่า ทฤษฎี BCS สามารถเขียน สามิติโโทเนียน (Hamiltonian) ได้ดังนี้

$$H = \sum_{k\sigma} \varepsilon_k C_{k\sigma}^+ C_{k\sigma} + \sum_{kk'} V_{kk'} C_{k\uparrow}^+ C_{-k\downarrow}^+ C_{-k\downarrow} C_{k\uparrow} \quad (1)$$

เมื่อ ε_k คือ พลังงานจลน์ของอิเล็กตรอน $C_{k\sigma}^+(C_{k\sigma})$ คือ ตัวดำเนินการสร้าง (ทำลาย) และ $V_{kk'}$ คือ พลังงานศักย์ดึงดูดของอิเล็กตรอนสองตัว ซึ่งจะเรียกอิเล็กตรอนทั้งสองตัวนี้ว่าคู่คู่เปอร์ โดยตามทฤษฎี BCS จะกำหนดให้ $V_{kk'} = V_0$

จากสามิติโโทเนียนสามารถคำนวนหาฟังก์ชันกรีนของตัวนำways ยิ่งที่ไม่มีสารเจือที่ตำแหน่ง r เทียบกับ r' ได้ดังนี้

$$G_0(i\omega_m, r, r') = -\frac{1}{\Omega} \sum_k e^{ik(r-r')} \frac{(i\omega_m + \varepsilon_k \tau_3 + \Delta_k \tau_1)}{(\omega_m^2 + \varepsilon_k^2 + \Delta_k^2)} \quad (2)$$

เมื่อ ω_m คือ ความถี่มัตชูบาระ โดย $\omega_m = (2n+1)\pi T$, τ_i คือ เมทริกซ์ของเพาลี โดย $i = 0, 1, 2, 3$ สำหรับตัวนำways ยิ่งแบบคลื่นดี Δ_k คือ ซองว่างพลังงาน และ $\Delta_k = \Delta(T)\sin 2\theta$ [7] และ Ω คือ ปริมาตรของระบบ

ในการหาฟังก์ชันกรีนของตัวนำways ยิ่งที่มีสารเจือจะใช้การประมาณแบบที-เมทริกซ์ ซึ่งมีรูปแบบดังนี้

$$G(i\omega_m, r, r') = G_0(i\omega_m, r, r') + G_0(i\omega_m, r, 0) U_0 \tau_3 \frac{1}{1 - G_0(i\omega_m, 0, 0) U_0 \tau_3} G_0(i\omega_m, 0, r') \quad (3)$$

เมื่อ $U = U_0 \tau_3$ คือ พลังงานศักย์การกระเจิงนៃ่องจากสารเจือ

นำสมการ (2) แทนค่าลงในสมการ (3) จะสามารถหาฟังก์ชันกรีนที่มีสารเจือ โดยสารเจืออยู่ที่ตำแหน่ง $r = r' = 0$ ได้ดังนี้

$$\begin{aligned}
G(i\omega_m, 0, 0) = & N_0 \pi \left(\frac{i\omega_m + \Delta_k \tau_1}{\sqrt{\omega_m^2 + \Delta_k^2}} \right) + \frac{1}{1 - \left(u_0 \left(\frac{i\omega_m + \Delta_k \tau_1}{\sqrt{\omega_m^2 + \Delta_k^2}} \right) \tau_3 \right)^2} \left[N_0 \pi u_0 \left(\frac{i\omega_m + \Delta_k \tau_1}{\sqrt{\omega_m^2 + \Delta_k^2}} \right)^2 \tau_3 \right. \\
& \left. + N_0 \pi u_0^2 \left(\frac{i\omega_m + \Delta_k \tau_1}{\sqrt{\omega_m^2 + \Delta_k^2}} \right)^3 \right] \quad (4)
\end{aligned}$$

และสามารถถ้าความหนาแน่นสถานะของตัวนำยวดยิ่งที่มีสารเจือ ได้จากสมการ

$$N_{imp}(\varepsilon) = -\frac{1}{N_0 \pi} \text{Im} [G_{11}(i\omega_m \rightarrow \varepsilon + i\delta, 0, 0)] \quad (5)$$

แทนค่าสมการทั้งก์ชันกรีนโดย

$$\begin{aligned}
G_{11}(i\omega_m, 0, 0) = & N_0 \pi \left(\frac{i\omega_m}{\sqrt{\omega_m^2 + \Delta_k^2}} \right) + \frac{1}{1 - \left(u_0 \left(\frac{i\omega_m}{\sqrt{\omega_m^2 + \Delta_k^2}} \right) \right)^2} \left[N_0 \pi u_0 \left(\frac{i\omega_m + \Delta_k}{\sqrt{\omega_m^2 + \Delta_k^2}} \right)^2 \right. \\
& \left. + N_0 \pi u_0^2 \left(\frac{i\omega_m}{\sqrt{\omega_m^2 + \Delta_k^2}} \right)^3 \right] \quad (6)
\end{aligned}$$

แล้วจัดรูปจะได้

$$N_{imp}(\varepsilon) = \frac{N_d(\varepsilon)}{(1 + u_0^2 N_d^2(\varepsilon))} \quad (7)$$

เมื่อ $N_d(\varepsilon) = \frac{\varepsilon}{\varepsilon^2 - \Delta_k^2}$ คือ ความหนาแน่นสถานะที่ได้จากทฤษฎี BCS และ $u_0 = N_0 \pi U_0$

และเมื่อพิจารณาสถานะยึดเหนี่ยวของตัวนำยวดยิ่งแบบคลีนดี ที่ปรากฏบนสารเจือ โดยมีที่-เมทริกซ์ ดังนี้

$$T^{-1}(i\omega_m) = \frac{1}{U_0 \tau_3} - G_0(i\omega_m, 0, 0) \quad (8)$$

สถานะยึดเหนี่ยวจะเกิดขึ้นที่ $\text{Det}[T^{-1}(i\omega_m)] = 0$ และสำหรับตัวนำยวดยิ่งแบบคลีนดี องค์ประกอบบน nok แนวทแยงใน $T^{-1}(i\omega_m)$ จะเท่ากับศูนย์ ซึ่งจะสามารถถ้าทำตามนั้น พลังงานที่สถานะยึดเหนี่ยวได้ โดยสำหรับสารเจือที่เป็นแม่เหล็กจะได้ $\varepsilon_B = -\text{sgn}(u_0) \frac{\Delta_k}{\sqrt{1 + u_0^2}}$ ดังนั้นถ้าพิจารณา $N_{imp}(\varepsilon)$

ที่ทำหน่งสถานะยึดเหนี่ยวจะสามารถถ้าได้จากนิยาม $N_{imp}(\varepsilon) = \frac{\pi \varepsilon_B |u_0|}{(1 + u_0^2)}$ ซึ่งถ้าแทนค่าจะได้ดังนี้

$$N_{imp}(\varepsilon) = \frac{\pi |u_0| \Delta_k}{(1+u_0^2)^{3/2}} \quad (9)$$

ดังนั้น $N_{imp}(\varepsilon)$ จะเป็น

$$N_{imp}(\varepsilon) = \frac{N_d(\varepsilon)}{(1+u_0^2 N_d^2(\varepsilon))} + \frac{\pi |u_0| \Delta_k}{(1+u_0^2)^{3/2}} \quad (10)$$

โดย สมการ (10) เป็นความหนาแน่นสถานะเนื่องจากสารเจือ ซึ่งเทอมที่หนึ่งด้านขวามือ คือ ความหนาแน่นสถานะแบบต่อเนื่อง (continuum) และเทอมที่สองด้านขวามือ คือ ความหนาแน่นสถานะในสถานะยึดเหนี่ยว (bound state)

นำสมการ (10) มาหาค่าเฉลี่ยของความหนาแน่นสถานะเนื่องจากสารเจือจะได้

$$\langle N_{imp}(\varepsilon) \rangle = \frac{1}{2\pi} \int_0^{2\pi} d\theta \frac{\frac{\varepsilon}{\sqrt{\varepsilon^2 - \Delta^2(T) \sin^2 2\theta}}}{1+u_0^2 \left(\frac{\varepsilon}{\sqrt{\varepsilon^2 - \Delta^2(T) \sin^2 2\theta}} \right)^2} + \frac{1}{2\pi} \int_0^{2\pi} d\theta \frac{\pi |u_0| \Delta(T) \sin 2\theta}{(1+u_0^2)^{3/2}} \quad (11)$$

พิจารณากรณีที่ $u_0 N_d(\varepsilon) \gg 1$ ในตัวนำways ที่มีโครงสร้างแบบ 2 มิติ ซึ่งจากสมการ (10) มีรูปแบบสมการค่าเฉลี่ยของความหนาแน่นสถานะดังนี้

$$\begin{aligned} \langle N_{imp}(\varepsilon) \rangle &= \left\langle \frac{1}{u_0^2 N_d(\varepsilon)} - \frac{1}{u_0^4 N_d^3(\varepsilon)} + \dots + \frac{\pi |u_0| \Delta_k}{(1+u_0^2)^{3/2}} \right\rangle \\ &= \frac{1}{2\pi u_0^2} \int_0^{2\pi} d\theta \sqrt{1 - \frac{\Delta^2(T)}{\varepsilon^2} \sin^2 2\theta} - \frac{1}{2\pi u_0^4} \int_0^{2\pi} d\theta \left(\sqrt{1 - \frac{\Delta^2(T)}{\varepsilon^2} \sin^2 2\theta} \right)^3 + \frac{1}{2\pi} \int_0^{2\pi} d\theta \frac{\pi |u_0| \Delta(T) \sin 2\theta}{(1+u_0^2)^{3/2}} \end{aligned} \quad (12)$$

ในที่สุดจะได้

$$\begin{aligned} \langle N_{imp}(x) \rangle &= \frac{2}{\pi u_0^2} E\left(\frac{1}{x}\right) - \frac{2}{\pi u_0^4} \frac{1}{3} \left[\left(\frac{4x^2 - 2}{x^2} \right) E\left(\frac{1}{x}\right) - \left(\frac{x^2 - 1}{x^2} \right) K\left(\frac{1}{x}\right) \right] ; x > 1 \\ &= \frac{2}{\pi u_0^2} \frac{1}{x} \left[E(x) + (x^2 - 1) K(x) \right] \\ &\quad - \frac{2}{\pi u_0^4} \frac{1}{3} \left[\left(\frac{4x^2 - 2}{x^3} \right) (E(x) + (x^2 - 1) K(x)) - \left(\frac{x^2 - 1}{x} \right) K(x) \right] ; x < 1 \end{aligned} \quad (13)$$

พิจารณากรณี $u_0 N_d(\varepsilon) \ll 1$ ในตัวน้ำยาดึงแบบคลื่นดีที่มีโครงสร้างแบบ 2 มิติ ซึ่งจากสมการ (10) มีรูปแบบสมการค่าเฉลี่ยของความหนาแน่นสถานะดังนี้

$$\begin{aligned} \langle N_{imp}(\varepsilon) \rangle &= \left\langle N_d(\varepsilon) - u_0^2 N_d^3(\varepsilon) + \dots + \frac{\pi |u_0| \Delta_k}{(1+u_0^2)^{3/2}} \right\rangle \\ &= \frac{1}{2\pi} \int_0^{2\pi} d\theta \frac{\varepsilon}{\sqrt{\varepsilon^2 - \Delta^2(T) \sin^2 2\theta}} - \frac{u_0^2}{2\pi} \int_0^{2\pi} d\theta \frac{\varepsilon^3}{\left(\sqrt{\varepsilon^2 - \Delta^2(T) \sin^2 2\theta}\right)^3} + \frac{1}{2\pi} \int_0^{2\pi} d\theta \frac{\pi |u_0| \Delta(T) \sin 2\theta}{(1+u_0^2)^{3/2}} \end{aligned} \quad (14)$$

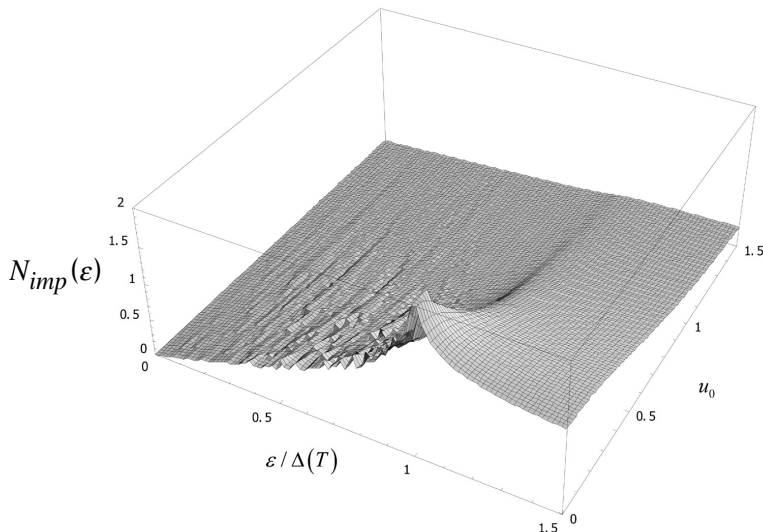
ในที่สุดจะได้

$$\begin{aligned} \langle N_{imp}(x) \rangle &= \frac{2}{\pi} K\left(\frac{1}{x}\right) - \frac{2u_0^2}{\pi} \frac{x^2}{x^2-1} E\left(\frac{1}{x}\right) &&; x > 1 \\ &= \frac{2}{\pi} x K(x) - \frac{2u_0^2}{\pi} \frac{x}{x^2-1} [E(x) + (x^2-1) K(x)] &&; x < 1 \end{aligned} \quad (15)$$

เมื่อ $x = \varepsilon/\Delta(T)$ และ $K(x)$ คือ ฟังก์ชันอิลลิปติก ชนิดที่ 1 แบบสมบูรณ์ และ $E(x)$ คือ ฟังก์ชันอิลลิปติก ชนิดที่ 2 แบบสมบูรณ์

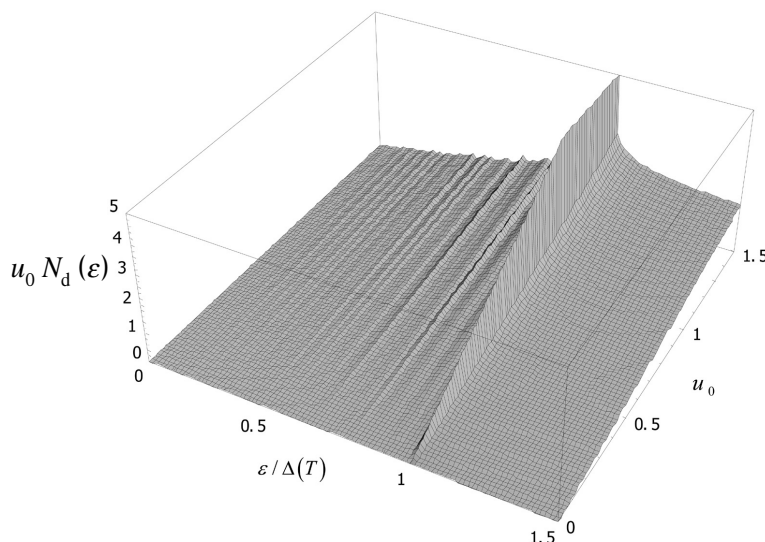
ผลการคำนวณและอภิปราย

นำสมการ (11) มาคำนวณแบบเชิงตัวเลข เพื่อหาความสัมพันธ์ระหว่าง N_{imp} กับ $\varepsilon/\Delta(T)$ และ u_0 จะได้ผลการคำนวณดังรูป



รูปที่ 4 แสดงความหนาแน่นสถานะของตัวน้ำยาดึงแบบคลื่นดีที่มีสารเจือ

จากรูปที่ 4 พบว่าความหนาแน่นสถานะของตัวนำยวดยิ่งแบบคลื่นดีที่มีสารเจือ จะเกิดพีคที่ $\varepsilon = \Delta(T)$ เมื่อ u_0 มีค่าน้อยๆ แต่เมื่อ u_0 มีค่าเพิ่มมากขึ้น พีคจะค่อยๆ ลดลงจนไม่ปรากฏพีคของความหนาแน่นสถานะ เมื่อ u_0 มากๆ ก่อให้ผลการคำนวนที่ $u_0 = 0$ มีความสอดคล้องกันงานวิจัยของ Won และ Maki (1994) [2] และ Ishida และคณะ (2000) [3]



รูปที่ 5 แสดงความหนาแน่นสถานะของตัวนำยวดยิ่งแบบคลื่นดีที่ได้จากทฤษฎี BCS คุณกับสารเจือ

จากรูปที่ 5 พบว่าความหนาแน่นสถานะของตัวนำยวดยิ่งแบบคลื่นดีที่ได้จากทฤษฎี BCS ที่มีสารเจือคุณด้วย จะเกิดพีคที่ $\varepsilon = \Delta(T)$ ดังนั้นจึงกล่าวได้ว่าสมการความหนาแน่นสถานะแบบประมาณในกรณีที่ $u_0 N_d(\varepsilon) >> 1$ และกรณี $u_0 N_d(\varepsilon) << 1$ สามารถเกิดขึ้นได้โดยจะสอดคล้องกับสมการ (13) และสมการ (15)

สรุปผลการคำนวน

ในงานวิจัยขึ้นนี้ผู้วิจัยได้ทำการศึกษาและทำการคำนวนหาสมการแบบแม่นตรงและแบบประมาณของความหนาแน่นสถานะของตัวนำยวดยิ่งแบบคลื่นดีที่มีสารเจือ โดยพบว่า ถ้าพลังงานศักย์สารเจือมีค่ามากๆ จะมีผลทำให้ไม่พบพีคของความหนาแน่นสถานะของตัวนำยวดยิ่งที่ตำแหน่ง $\varepsilon = \Delta(T)$ และพบว่าศักย์ของการระเจิงของสารเจือจะมีผลทำให้พีคของความหนาแน่นสถานะที่ $\varepsilon = \Delta(T)$ มีค่าลดลง

กิตติกรรมประกาศ

งานวิจัยนี้ได้รับทุนสนับสนุนการวิจัยบางส่วนจากทุนสนับสนุนการทำปริญญาในพนธ์สำหรับนิสิตในระดับบัณฑิตศึกษาจากบประมาณเงินรายได้ของคณะวิทยาศาสตร์ มหาวิทยาลัยคริสต์วิทยาและวิทยาศาสตร์ ประจำปี พ.ศ. 2551

เอกสารอ้างอิง

1. พงษ์แก้ว อุดมสมุทรพิรัญ และ รัตนสุดา สุก遁นียสร. 2550. ผลสารเจือที่มีต่ออุณหภูมิวิกฤตของตัวนำยวดยิ่ง. วารสารวิทยาศาสตร์ มนฯ 23(1): 109-120.
2. Won, H., and Maki, K. 1994. D-Wave Superconductors as a Model of High-T_c Superconductors. *Physical Review B* 49: 1398.
3. Ishida, K., Mukuda, H., Kitaoka, Y., Mao, Z. Q., Mori, Y., and Maeno, Y. 2000. Anisotropic Superconducting Gap in the Spin-Triplet Superconductor Sr₂RuO₄: Evidence from a Ru-NQR Study. *Physical Review Letters* 84(23): 5387.
4. Miyake, K., and Narikiyo, O. 1999. Model for Unconventional Superconductivity of Sr₂RuO₄: Effect of Impurity Scattering on Time-Reversal Breaking Triplet Pairing with a Tiny Gap. *Physical Review Letters* 83: 1423.
5. Matsumoto, M. 2001. Impurity Site NMR Relaxation in Unconventional Superconductors. *Journal of the Physical Society of Japan* 70(9): 2505-2507.
6. Bardeen, J., Cooper, N., and Schrieffer, J. R. 1959. Theory of Superconductivity. *Physical Review* 108 (5): 1175-1204.
7. Udomsamuthirun, P. 2006. Influence of Impurity on Isotope Coefficient of Superconductors. *Physica C* 449(2): 100-103.

ได้รับบทความวันที่ 3 กรกฎาคม 2551
ยอมรับตีพิมพ์วันที่ 9 กันยายน 2551